

تأثیر پارامترهای مختلف نیتروژن دهی پلاسمایی به روش متداول و روش توری فعال بر روی رفتار فولاد کم آلیاژ

30CrNiMo8

شاهرخ آهنگرانیⁱ, فرزاد محبوبیⁱⁱ, علیرضا صبور روح اقدمⁱⁱⁱ

چکیده

نیتروژن دهی پلاسمایی به روش توری فعال یک پدیده جدید در مهندسی سطح است که بتنازگی توسعه یافته و ضمن بر طرف کردن مشکلات نیتروژن دهی متداول پلاسمایی، پیشرفت‌های زیادی را نیز در این زمینه ارائه نموده است. در این مطالعه، رفتار فولاد کم آلیاژ 30CrNiMo8 در مقابل عملیات نیتروژن دهی پلاسمایی به روش‌های متداول و توری فعال در شرایط مختلفی مورد بررسی و مقایسه قرار گرفت. ساختار و خواص مکانیکی این فولاد پس از نیتروژن دهی پلاسمایی به روش‌های فوق از نظر ضخامت و ترکیب شیمیایی لایه ترکیبی و همچنین سختی سطح تا عمق نمونه‌ها با استفاده از میکروسکوپ‌های نوری و الکترونی (SEM)، پراش اشعه ایکس (XRD)، و آزمون ریز سختی سنجی ارزیابی شد. نتایج نشان می‌دهد که روش نیتروژن دهی پلاسمایی به روش توری فعال افزایش دمای عملیات، مستقل از پارامترهای مربوط به سیستم توری، موجب افزایش نیتریدهای ϵ در لایه ترکیبی و همچنین افزایش ضخامت و سختی این لایه می‌گردد.

كلمات کلیدی :

نیتروژن دهی پلاسمایی، توری فعال، فولادهای کم آلیاژ، سختی سطحی، عمق نفوذ

Comparison of Active Screen and Conventional Plasma Nitrided 30CrNiMo8 Low-Alloy Steel

Sh. Ahangarani, F. Mahboubi, A.R. Sabour

ABSTRACT

Active screen plasma nitriding (ASPN) is a promising surface modification technique that has many advantages over the conventional DC plasma nitriding (CPN). Behavior of 30CrNiMo8 Low-alloy steel has been compared under varying conditions of ASPN and CPN processes. The process variables included active screen setup parameters (top lid and screen hole size), treatment temperature (550 and 580°C), gas mixture (fixed for 75/25 of N₂/H₂) and treatment time (5h) in 500 Pa pressure for 5h. The structure and phases composition of the compound layer was studied by X-ray diffraction (XRD), microhardness tests, light optical microscopy and scanning electron microscopy (SEM). It was observed that ASPN treated sample surfaces for both screen and iron plate top lid consist of γ' and ϵ phases and while the temperature and/or hole size of screen setup increased, the intensity of ϵ phase in the compound layer increased. The results show that ion transition via sputtering and recondensation mechanism of screen top lid on the sample surface can be affected on the hardness and layer thickness. It appears that the AS plasma nitriding process facilitated the formation of ϵ phase in this test.

ⁱ- دانشجوی دکترای مهندسی مواد، دانشگاه تربیت مدرس، دانشکده فنی و مهندسی، ahang@modares.ac.ir

ⁱⁱ- استادیار دانشگاه امیرکبیر، دانشگاه صنعتی امیرکبیر، دانشکده معدن، متالورژی و نفت

ⁱⁱⁱ- استادیار دانشگاه تربیت مدرس، دانشگاه تربیت مدرس، دانشکده فنی و مهندسی

KEYWORDS:

Plasma nitriding, active screen, ASPN, low alloy steel, 30CrNiMo8

ریز ساختار نمونه‌ها، XRD برای شناسایی فازها، و آزمون ریز سختی سنجی برای اندازه گیری سختی سطح و نیمرخ سختی سطح تا عمق نمونه‌ها مورد مطالعه قرار گرفت. این محققین نشان دادند که نیتروژن دهی پلاسمایی متداول داشته باشد و در عین حال مشکلات موجود در روش نیتروژن دهی متداول نظیر خسارات ناشی از قوسهای سطحی، اثر لبه‌ها، و اثر کاتد توخالی را بر طرف نماید. مکانیزم انتقال جرم نیتروژن در استفاده از توری فعال توسط محققین فوق مورد مطالعه قرار گرفته و یک مدل اصلاح شده پراکنش و رسوب مجدد در تشریح نتایج نیتروژن دهی به روش توری فعال ارائه شده است.

هدف از انجام این پژوهش ارزیابی فرایند نیتروژن دهی به روش توری فعال (ASPN) در مقایسه با روش متداول (CPN) بوده است. در این راستا، رفتار فولاد کم آلیاژ 30CrNiMo8 در مقابل عملیات نیتروژن دهی پلاسمایی به هر دو روش فوق در شرایط مختلف شامل دمای عملیات، ترکیب گاز و پارامترهای مربوط به طراحی توری مورد مطالعه قرار گرفته است.

۲- مواد و روش تحقیق

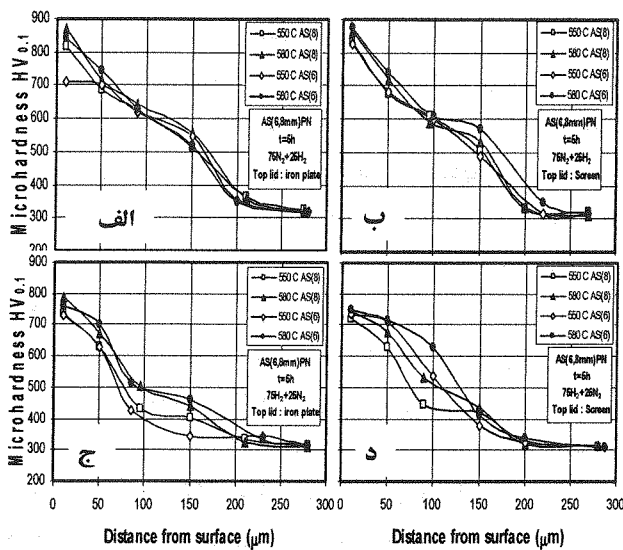
نمونه‌های مورد استفاده در این تحقیق به شکل دیسک هایی به قطر ۲ سانتیمتر و ضخامت ۸ میلیمتر از جنس فولاد کم-آلیاژ 30CrNiMo8 با ترکیب (wt.%) C: ۰/۰۲۵، Si: ۰/۰۲۶-۰/۳۴، Mn: ۰/۰۳-۰/۰۵، Cr: ۱/۸-۲/۲، P: ۰/۰۲۰، S: ۰/۰۲۰، Ni: ۱/۸-۲، Mo: ۰/۰۳-۰/۰۶، از طریق روش‌های معمول متالوگرافی، آماده فرایند نیتروژن دهی شد. برای آزمایش‌ها از یک دستگاه نیتروژن دهی پلاسمایی از طریق ساخته شده در دانشگاه امیرکبیر، استفاده شد. ترکیب گازهای مورد مصرف در محفظه شامل مخلوطی از N_2/H_2 با نسبت ۷۵/۲۵ و ۲۵/۷۵ بوده و برای ایجاد پلاسما و تخلیه تابان، یک منبع تغذیه DC با توان ۵ کیلو وات به کار گرفته شد. برای عملیات نیتروژن دهی پلاسمایی به روش توری فعال، ورقه های مشبک فولاد ساده کربنی به ضخامت یک میلیمتر، استوانه های مشبکی با ۷ سانتیمتر قطر و ۵ سانتیمتر ارتفاع تهی شد و پس از چربی زدایی و اسید شویی در محلول فروکیلین و خشک کردن نهایی، پیرامون نمونه‌های مستقر بر روی سکوی عملیات موجود در محفظه قرار گرفت (شکل(۱)). در این عملیات با یک عایق سرامیکی اتصال بین نمونه‌ها و سکوی سیستم نیتروژن

۱- مقدمه

فرایند نیتروژن دهی پلاسمایی به عملیات نفوذی ترموشیمیایی در یک محفظه خلاء اطلاق می‌گردد که عمدتاً برای بهبود و افزایش سختی سطحی و عمق نفوذ موثر در قطعات فولادی بکار می‌رود [۱] و [۲]. این روش یکی از فرایندهای مهم مهندسی سطح در بهبود سختی سطح و مقاومت به سایش انواع مختلف مواد مهندسی نظیر فولادهای کم آلیاژی و فولادهای ابزاری محسوب می‌شود [۳]. فرایند نیتروژن دهی فولاد می‌تواند از روش‌های گازی و یا مایع نیز انجام پذیرد اما استفاده از پلاسما علاوه بر کنترل بهتر فازهای سطحی تشکیل شده و کیفیت بهتر سطوح قطعات، موجب کاهش مصرف گاز، کاهش انرژی سوخت و به طور کلی کاهش خطرات زیست محیطی می‌گردد. در حال حاضر بیشترین استفاده برای نیتروژن دهی پلاسمایی از طریق جریان مستقیم (CPN) است، اما این روش دارای یک سری نقص‌های ذاتی نظیر خسارت احتمالی سطح قطعات توسط قوس، اثر لبه^۱ و اثر کاتد توخالی^۲ است. بدین لحاظ، اخیراً استفاده از روش جدیدی تحت عنوان نیتروژن دهی پلاسمایی با استفاده از توری فعال^۳ (ASPN) در حال گسترش است که توانایی بسیار مطلوب‌تری را نسبت به روش‌های متداول نیتروژن دهی پلاسمایی از خود به نمایش گذاشته است. مهمترین تفاوت بین روش ASPN و روش‌های متداول این است که در این روش با استفاده از یک توری فلزی که در پیرامون قطعه قرار می‌گیرد و به قطب منفی وصل می‌شود، به جای تشکیل پلاسما بر روی قطعات که نسبت به کاتد در پتانسیل خنثی قرار دارد، پلاسما بر روی توری ایجاد می‌گردد که این امر نتایج مهمی را در یکنواخت ساختن حرارت و انتقال نیتروژن بر روی سطح فلز در پی داشته و منجر به بر طرف شدن نقاط ضعف روش متداول نیتروژن دهی پلاسمایی گردیده است [۴] و [۵].

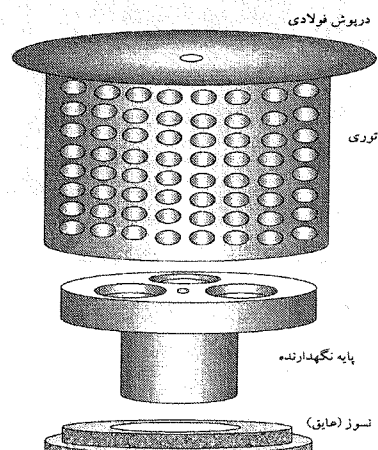
لی و همکارانش [۶]-[۸]، نمونه‌هایی از یک فولاد کم آلیاژ و فولاد آستینتی زنگ نزن را از طریق توری فعال با ترکیب گازهای مختلف و توری‌های مختلف نیتروژن دهی کردند. در پژوهش این محققین نمونه‌های دیگری نیز از این آلیاژ بدون استفاده از توری و به صورت عادی در شرایط مشابهی برای مقایسه نتایج، نیتروژن دهی شد. نمونه‌های نیتروژن دهی به روش‌های مختلف آنالیز مواد شامل میکروسکوپ نوری و SEM برای بررسی

نتایج حاصل از آزمایش‌های ریزسختی سنجی نشان می‌دهد که با افزایش دما در هر دو ترکیب گازی مذکور و زمان عملیات ۵ ساعت، میزان سختی سطحی و عمق لایه سخت شده افزایش می‌یابد. استفاده از دو نوع درپوش به شکل‌های توری و ساده منجر به دسته بندی نتایج بر اساس نوع سیستم توری فعال مورد استفاده شده و به نظر می‌رسد در شرایط مختلف نیتروژن دهی، سختی سطح نمونه‌ها در توری‌هایی که درپوش توری دارند نسبتاً بیشتر از حالتی است که از درپوش ساده استفاده می‌شود. شکل (۳) نیز تصاویر ریز سختی سنجی مربوط به نمونه‌های نیتروژن دهی پلاسمایی شده در دماهای ۵۵۰ و ۵۸۰ درجه سانتیگراد به روش متداول را برای ترکیب گازی $N_2 + 25H_2$ (الف) و $N_2 + 75H_2$ (ب) نشان می‌دهد. نتایج حاصل از آزمایش‌های ریزسختی سنجی برای نمونه‌های نیتروژن دهی پلاسمایی شده به روش متداول نشان می‌دهد که با افزایش دما در هر دو ترکیب گازی مذکور میزان سختی سطحی و عمق لایه سخت شده افزایش یافته و با کاهش غلظت نیترویدها از سطح به مغز قطعه، سختی سطح تا مغز قطعه نیز کاهش می‌یابد.



شکل (۲) : - تغییرات ریز سختی از سطح تا عمق برای نمونه های نیتروژن دهی پلاسمایی شده از طریق توری فعال در دماهای ۵۵۰ و ۵۸۰ درجه سانتیگراد و توری های ای با سوراخ های ۶ و ۸ میلیمتری، در مخلوط گازی $N_2 + 25H_2$ با درپوش ساده (الف) و درپوش مشبک (ب) و مخلوط گازی $N_2 + 75H_2$ با درپوش ساده (ج) و درپوش مشبک (د)

دهی (کاتد) قطع شده و استوانه مشبک پیرامون آن مستقیماً به قطب منفی منبع تغذیه متصل می‌شود. در این تحقیق علاوه بر استفاده از دو نوع استوانه مشبک با قطر سوراخ‌های مختلف ۶ و ۸ میلیمتر، از درپوش‌های مختلفی نیز به صورت ورق ساده بدون سوراخ و ورق‌های مشبک با قطر سوراخ‌های مشابه با استوانه به عنوان متغیرهای سیستم توری فعال استفاده شد. فاصله درپوش از سطح نمونه ها ۱۲ میلیمتر و فاصله نزدیکترین قسمت لبه نمونه به دیواره توری تقریباً ۱۰ میلیمتر بود. دمای نمونه ها از طریق ترموموپلی که در مرکز سکوی نمونه‌ها متصل شده بود، اندازه گیری می‌شد. عملیات نیتروژن دهی پلاسمایی با استفاده از توری فعال در دو دمای ۵۵۰ و ۵۸۰ درجه سانتیگراد و در مخلوط گازی ذکر شده و در فشار ۵۰۰ پاسکال به مدت ۵ و ۱۰ ساعت انجام شده و جهت مقایسه نتایج، آزمایش‌های مشابهی نیز بدون استفاده از توری (روش متداول نیتروژن دهی) صورت پذیرفت.



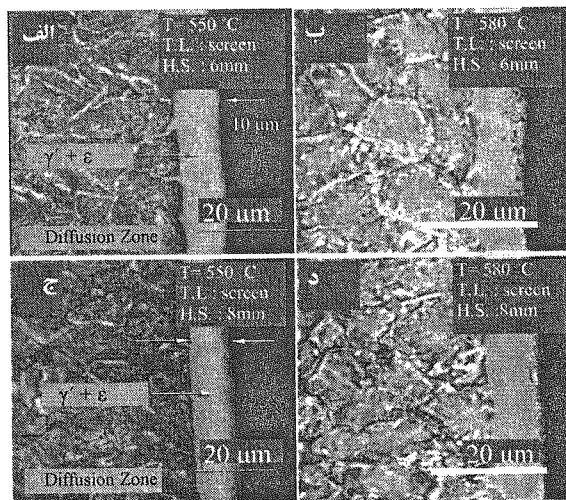
شکل (۱) : اجزای یک توری فعال جهت نیتروژن دهی پلاسمایی [۱۲]

برای بررسی نمونه‌های نیتروژن دهی شده، وسایل مختلفی نظیر میکروسکوپ نوری (Olympus BX60)، میکروسکوپ الکترونی روبشی (SEM, Philips-XL30)، پراش اشعه ایکس (XRD, Xpert Philips, Cu K α) و ریزسختی سنجی به کار گرفته شد.

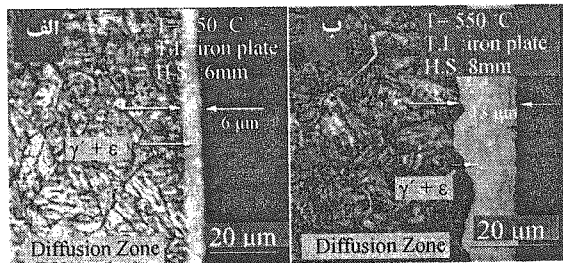
۳- یافته‌ها

۳-۱- نتایج ریز سختی سنجی و ضخامت لایه‌ها

شکل (۲) تعدادی از نتایج ریز سختی سنجی مربوط به نمونه‌های نیتروره شده در شرایط مختلف را برای توری های با قطر سوراخ ۶ و ۸ میلیمتر برای ترکیب گازی $N_2 + 25H_2$ و $N_2 + 75H_2$ (الف و ب) و $N_2 + 75N_2$ (ج و د) نشان می‌دهد.



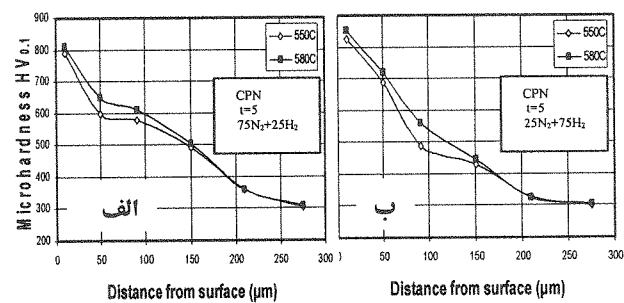
شکل (۴) : تصاویر میکروسکوپ نوری از نمونه های نیتروژن دهی شده از طریق توری فعال در 550°C و 580°C برای مخلوط گازی $75\text{N}_2 + 25\text{H}_2$ در زمان ۵ ساعت برای توری های با قطر ۶ (الف و ب) و ۸ میلیمتر (ج و د) با درپوش های مشبک.



شکل ۵ - تصاویر میکروسکوپ نوری از نمونه های نیتروژن دهی شده از طریق توری فعال در 550°C برای مخلوط گازی $75\text{N}_2 + 25\text{H}_2$ در زمان ۵ ساعت برای توری های با قطر ۶ (الف) و ۸ میلیمتر (ب) با درپوش های ساده.

جدول (۱) : تغییرات ضخامت لایه ترکیبی با دما و پارامترهای مربوط به سیستم توری.

ردیف (۱)	ضخامت متوسط لایه ترکیبی در روش متداول (μm)			پارامترهای سیستم توری			ضخامت متوسط لایه ترکیبی در روش توری فعال (μm)		
	$75\text{N}_2 + 25\text{H}_2$	$25\text{N}_2 + 75\text{H}_2$	ساده	۶	۸	۹	$75\text{N}_2 + 25\text{H}_2$	$25\text{N}_2 + 75\text{H}_2$	۲/۵
۸	۶	۹	ساده	۶	۶	۶	۶	۱۳	۲
				۸	۱۳	۲	۸	۱۰	۴
	۱۲	۱۱	توری	۶	۱۰	۴	۶	۱۰	۵
				۸	۱۰	۵	۸	۱۲	۷
				۶	۱۲	۱۰/۵	۶	۱۴	۱۱/۵
				۸	۱۴/۴	۱۲	۸	۱۴/۴	۱۲



شکل (۳) : تغییرات ریز سختی از سطح تا عمق برای نمونه های نیتروژن دهی پلاسمایی شده به روش متداول در دماهای 550°C و 580°C درجه سانتیگراد برای مخلوط گازی $75\text{N}_2 + 25\text{H}_2$ (الف) و $25\text{N}_2 + 75\text{H}_2$ (ب).

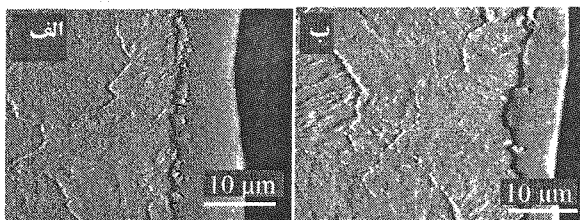
۳-۲- نتایج میکروسکوپ نوری

شکل های (۴) و (۵) نیز به ترتیب تعدادی از تصاویر میکروسکوپ نوری مربوط به نمونه های نیتروژن دهه در دماهای 550°C و 580°C در مخلوط گازی $75\text{N}_2 + 25\text{H}_2$ را برای توری های با قطر سوراخ ۶ و ۸ میلیمتر با درپوش های مشبک و ساده نشان می دهد. همانطور که در شکل ۴ ملاحظه می شود در شرایط یکسان، افزایش دما موجب افزایش ضخامت متوسط لایه ترکیبی (یا لایه سفید مشاهده شده در تصاویر SEM) می شود و در یک دمای ثابت برای یک سیستم توری با درپوش مشبک، ضخامت لایه ترکیبی مستقل از قطر سوراخ های توری است. همچنین با مقایسه شکل های (۴) و (۵) در یک دمای ثابت، توری های با درپوش مشبک از ضخامت بالاتری نسبت به توری های با درپوش ساده برخوردار می باشند. شکل ۵ نیز نشان می دهد که در یک دمای ثابت برای یک سیستم توری با درپوش مشبک، افزایش قطر سوراخ های توری موجب افزایش ضخامت لایه ترکیبی می شود.

جدول (۱) ارتباط متغیرهای یاد شده را در مورد مخلوط گازی $75\text{N}_2 + 25\text{H}_2$ نشان می دهد. این جدول نشان می دهد که تغییرات ضخامت برای هر دو مخلوط گازی مورد تحقیق با تغییر دما و پارامترهای مربوط به طراحی سیستم روند نسبتاً یکسانی را دارد. در حالیکه در شرایط ثابت بودن هر یک از متغیرهای فوق، نمونه های نیتروژن دهه (با استفاده از توری فعال) در مخلوط گازی $75\text{N}_2 + 25\text{H}_2$ ضخامت بیشتری نسبت به نمونه های عملیات شده در مخلوط گازی $25\text{N}_2 + 75\text{H}_2$ دارند. به عبارت دیگر در شرایط یکسان، افزایش نیتروژن در مخلوط گازی مورد نظر در روش نیتروژن دهی از طریق توری فعال موجب افزایش ضخامت لایه ترکیبی تشکیل شده بر روی نمونه ها خواهد شد.

۳-۳- نتایج میکروسکوپ الکترونی

کندوپاش است و در نتیجه با افزایش نیتروژن در ترکیب گان ضخامت لایه ترکیبی و نفوذی افزایش می‌یابد.



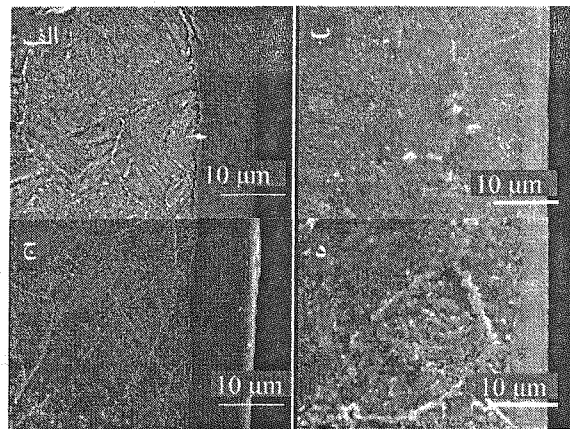
شکل (۷): تصاویر میکروسکوپ الکترونی از نمونه‌های نیتروژن دهی شده به روش متداول در ۵۵۰ درجه سانتیگراد و در زمان ۵ ساعت برای مخلوط گازی $\text{N}_2 + \text{H}_2$ (الف) و $\text{N}_2 + \text{H}_2$ (ب).

۳-۴- نتایج پراش اشعه ایکس

شکل (۸) (الف تا و) به ترتیب نتایج آنالیز XRD از نمونه‌های نیتروژن دهی شده از طریق توری فعال در شرایط دمایی مختلف و مخلوط گازی $\text{N}_2 + \text{H}_2$ برای توری‌های با قطر ۶ و ۸ میلیمتر با در پوش‌های مشبك و ساده نشان می‌دهد. شکل (۹) نیز نتایج آنالیز XRD از نمونه‌های نیتروژن دهی شده از طریق توری فعال در ۵۵۰ درجه سانتیگراد و در زمان ۵ ساعت را برای توری‌های با قطر ۶ میلیمتر (الف) و ۸ میلیمتر (ب)، با در پوش‌های مشبك برای مخلوط گازی $\text{N}_2 + \text{H}_2$ (الف و ب) و با نشان می‌دهد.

نتایج آزمایش‌های XRD برای نمونه‌های نیتروژن دهی شده به روش توری فعال نشان داد که لایه سفید تشکیل شده در شرایط مختلف شامل هر دو فاز γ' - Fe_4N و $\epsilon\text{-Fe}_{2.3}\text{N}$ می‌باشد. شکل (۸) نشان می‌دهد که در دمای ۵۵۰ درجه سانتیگراد و مستقل از نوع در پوش، با افزایش قطر سوراخ‌های توری میزان فاز ϵ در لایه افزایش می‌یابد. در این مورد با توجه به این شکل، در دمای ۵۵۰ درجه سانتیگراد نسبت (در پوش ساده) I_{ϵ}/I_{γ} (در پوش مشبك) ≈ 1 برای بلندترین پیک مربوط به فاز ϵ در یک سیستم توری با قطر سوراخ ۶ میلیمتر، برابر $2/7$ و برای یک سیستم توری با قطر سوراخ ۸ میلیمتر برابر $2/5$ می‌باشد. این امر نشان دهنده آن است که فاز ϵ در لایه ترکیبی برای یک سیستم توری با در پوش مشبك بیشتر از یک سیستم توری با در پوش ساده است.

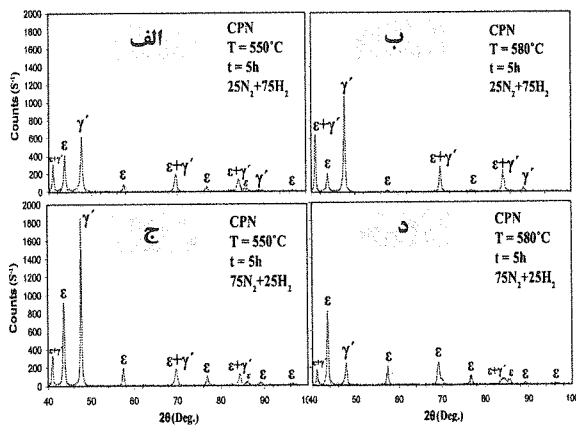
شکل (۶) تصاویر میکروسکوپ الکترونی نمونه‌های نیتروژن دهی از طریق توری فعال در دمای ۵۵۰ درجه سانتیگراد را برای توری‌های با قطر ۶ و ۸ میلیمتر و در پوش مشبك برای هر دو مخلوط گازی $\text{N}_2 + \text{H}_2$ (۷۵٪ N_2 و ۲۵٪ H_2) نشان می‌دهد. این تصاویر نشان می‌دهند که در شرایط کاملاً یکسان، در صورت استفاده از در پوش مشبك افزایش قطر سوراخ‌ها تاثیر بسیار ناچیزی بر روی ضخامت لایه‌ها دارد. به نظر می‌رسد انتقال آزاد اجزای فعال از سطح فوقانی نمونه‌ها موجب یک جریان یکنواخت از سوراخ‌های پیرامون نمونه‌ها شده که می‌تواند مستقل از قطر سوراخ‌های توری، لایه یکنواختی را بر روی سطح نمونه‌ها ایجاد نماید.



شکل (۶)- تصاویر میکروسکوپ الکترونی از نمونه‌های نیتروژن دهی شده از طریق توری فعال در ۵۵۰ درجه سانتیگراد و در زمان ۵ ساعت برای مخلوط گازی $\text{N}_2 + \text{H}_2$ (الف و ج) و (ب و د) با توری‌های با قطر ۶ میلیمتر (الف و ب) و ۸ میلیمتر (ج و د) و با در پوش‌های مشبك.

شکل (۷) نیز تصاویر میکروسکوپ نوری مربوط به نمونه‌های نیتروژن دهی شده به روش متداول را در دمای ۵۵۰ درجه سانتیگراد نشان می‌دهد. با توجه به شکل (۷) و جدول (۱)، برای هر دو مخلوط گازی $\text{N}_2 + \text{H}_2$ (۷۵٪ N_2 و ۲۵٪ H_2) (شکل ۷-الف) و $\text{N}_2 + \text{H}_2$ (۷۵٪ N_2 و ۲۵٪ H_2) (شکل ۷-ب) با افزایش دما ضخامت لایه سفید افزایش می‌یابد. با توجه به شکل فوق در دمای ثابت ۵۵۰ درجه سانتیگراد و همچنین ۵۸۰ درجه سانتیگراد تغییر نسبت گازی از N_2/H_2 به $25/75$ برای N_2/H_2 ضخامت لایه سفید کاهش می‌یابد. از این نتایج اینگونه تصور می‌شود که ضخامت لایه ترکیبی و نفوذی در دمای ۵۵۰ و ۵۸۰ درجه سانتیگراد با نفوذ نیتروژن در این لایه کنترل می‌شود. در این شرایط افزایش ضخامت لایه در اثر فرایند نفوذ بیشتر از کاهش آن در اثر

برای ترکیب گازی $\epsilon + \gamma$ ٪/٪ $N_2 + 25H_2$ لایه ترکیبی از فاز ϵ بیشتری برخوردار بوده و به خصوص با افزایش دما به دلیل تسهیل در فرایند نفوذ مقدار آن بیشتر از γ است.

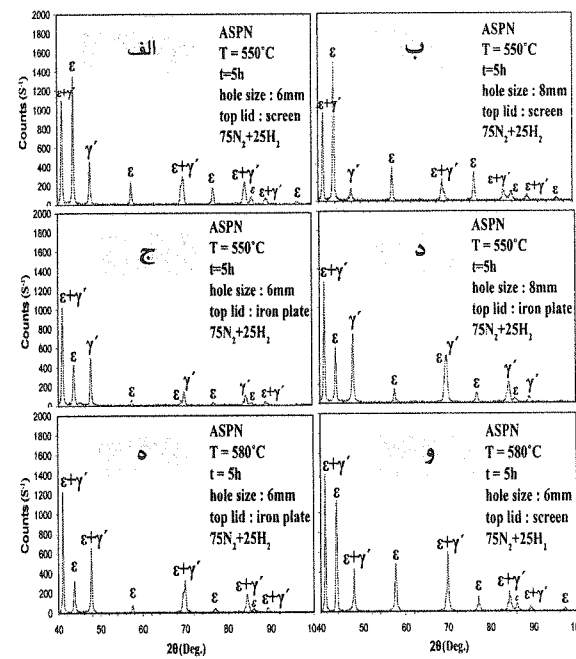


شکل (۱۰) : آنالیز XRD از نمونه های نیتروژن دهی شده به روش متداول در 550°C و 580°C (الف و ج) و درجه سانتیگراد و در زمان ۵ ساعت برای مخلوط گازی $\epsilon + \gamma$ ٪/٪ $N_2 + 25H_2$ (الف و ب) و $\epsilon + \gamma$ ٪/٪ $N_2 + 25H_2$ (ج و د).

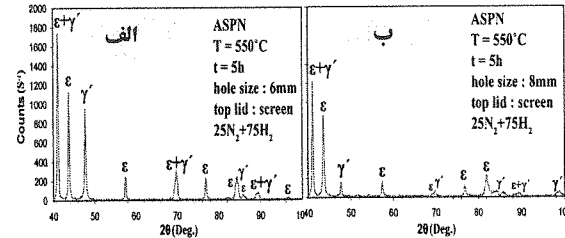
شکلهای (۸) و (۹) نشان می دهند که در فرایند ASPN مستقل از نوع ترکیب گازی و قطر سوراخ های توری، در صورت استفاده از درپوش توری، فاز γ مقدار بسیار کمتری داشته و لایه ترکیبی بیشتر تمایل به تشکیل فاز ϵ دارد. در حالیکه استفاده از درپوش ساده عکس این نتیجه را نشان می دهد. در این شرایط به نظر می رسد درپوش ساده از جریان آزاد اجزای فعال از سطح فوقانی توری به سمت نمونه ها جلوگیری کرده و موجب کاهش مقدار لازم رسوب FeN بر روی سطح نمونه می شود. در این حالت با توجه به جدول (۱) و شکل (۸)، لایه ترکیبی ضخامت کمتری دارد و تمایل به تشکیل فاز ϵ در آن کاهش می یابد.

۴- بحث

با مشاهده نتایج سختی سنجی در شکل (۲)، به نظر می رسد دلیل افزایش سختی سطح نمونه ها در توری هایی که درپوش شبک دارند نسبت به حالتی که از درپوش ساده استفاده می شود احتمالاً مربوط به انتقال آزاد اجزای فعال پلاسمای یونهای N_2^+ مولکول ها و اتم های خنثی نیتروژن [۹] از سطح فوقانی توری به سطح نمونه ها است. از طرفی با توجه به شکل ۴، افزایش دمای عملیات موجب افزایش ضخامت لایه سفید و نفوذی نمونه گردیده و به دلیل افزایش تدریجی فازهای ϵ و γ در لایه ترکیبی (شکل (۸))، سختی سطح افزایش می یابد. در فرایند نیتروژن دهی پلاسمایی به روش متداول در دمای



شکل (۸) : آنالیز XRD نمونه های نیتروژن دهی شده از طریق توری فعال در 550°C و 580°C درجه سانتیگراد برای توری های با قطر ۶ (الف، ج، ۵، و) و ۸ میلیمتر (ب و د) و با درپوش های مشبک (الف، ب، و) و ساده (ج و د و ه).



شکل (۹) : آنالیز XRD از نمونه های نیتروژن دهی شده از طریق توری فعال در 550°C درجه سانتیگراد و در زمان ۵ ساعت برای توری های با قطر ۶ میلیمتر (الف) و ۸ میلیمتر (ب)، با درپوش های مشبک برای مخلوط گازی $\epsilon + \gamma$ ٪/٪ $N_2 + 25H_2$.

شکل (۱۰) نیز به ترتیب نتایج آنالیز XRD از نمونه های نیتروژن دهی به روش متداول را برای ترکیب گازی $\epsilon + \gamma$ ٪/٪ $N_2 + 25H_2$ (الف و ج) و $\epsilon + \gamma$ ٪/٪ $N_2 + 25H_2$ (ب و د) در 550°C (الف) و 580°C (ب و د) و در زمان ۵ ساعت نشان می دهد. این شکل نشان می دهد که در دمای 550°C درجه سانتیگراد با افزایش مقدار نیتروژن در مخلوط گازی و افزایش میزان نفوذ آن در سطح قطعه، مقدار هر دو فاز ϵ و γ افزایش می یابد. با توجه به این شکل برای مخلوط گازی و افزایش می رسد. در هر دو دمای مورد تحقیق، شدت پیک های فاز γ کمی بیشتر از پیک های فاز ϵ می باشد. این نشان دهنده آن است که مقدار فاز γ در لایه ترکیبی در فرایند CPN کمی بیشتر از فاز ϵ است. در مقابل،

در روش نیتروژن دهی پلاسمایی با استفاده از توری فعال، افزایش یابد. در این شرایط ذرات بسیار ریزی از نیتریدهای آهن که عمدهاً شامل فاز ۴ می‌باشد [۲]، با مرزهای بسیار منظمی به شکل هگزاگونال بر روی سطح نمونه تشکیل می‌گردد. علت وقوع این پدیده وجود یک توری در پیرامون نمونه-هاست که از کندوپاش پیوسته سطح آنها جلوگیری کرده و موجب رشد یکنواخت این ذرات می‌گردد. شکل (۱۱) این ذرات هگزاگونال را برای فرایندهای ASPN با درپوش توری (۱۱-الف و در بزرگنمایی بیشتر ۱۱-ب) و درپوش ساده (۱۱-ج و در بزرگنمایی بزرگتر ۱۱-د) به خوبی نشان می‌دهد.

نوع لایه ترکیبی و میزان فازهای نیتریدی تشکیل شده در عملیات نیتروژن دهی پلاسمایی به روش متداول، تحت تاثیر ترکیب شیمیایی گاز و دمای عملیات است. در این خصوص در یک دمای مشخص، افزایش مقدار گاز N_2 در مخلوط گازی موجب افزایش غلظت نیتریدهای ۴ در لایه ترکیبی می‌گردد به- طوریکه، تغییر ترکیب گازی از $25N_2/75H_2$ به $25N_2/25H_2$ در دمای $550^{\circ}C$ می‌تواند مقدار پیک نیتریدهای ۴ را در لایه ترکیبی تا حدود ۲ برابر و در $580^{\circ}C$ تا ۴ برابر افزایش دهد. این در حالی است که تحت این شرایط نیتریدهای ۷ رفتار متفاوتی را نشان می‌دهند به‌طوریکه با افزایش مقدار گاز N_2 در مخلوط گازی تا $75^{\circ}C$ درصد، در دمای $550^{\circ}C$ مقدار پیک نیتریدهای ۷ در لایه ترکیبی تا حدود ۳ برابر افزایش و در $580^{\circ}C$ در کاهش می‌یابد (شکل (۱۰)). افزایش فاز ۷ در لایه ترکیبی را در ترکیب گازی $25N_2/75H_2$ و دماهای بالا می‌توان به افزایش میزان کندوپاش و کاهش میزان نیتریدهای ۴ از سطح فوقانی نیتریدهای ۷ نسبت داد [۱۰] در حالیکه، کاهش میزان این فاز در لایه ترکیبی را در دماهای بالاتر و مخلوط گازی $25H_2/75N_2$ می‌توان به افزایش میزان نفوذ نیتروژن و غنی شدن سطح فوقانی این فاز از فاز ۴ نسبت داد.

آنالیز XRD نشان دهنده غلظت بالاتر فاز ۴ در لایه سفید تشکیل شده بر سطح نمونه‌های نیتروژن دهی شده پلاسمایی به روش ASPN در هر دو نوع توری با قطر سوراخ ۶ و ۸ میلیمتر با درپوش توری نسبت به درپوش ساده است. همچنین افزایش دما در شرایط یکسان و مستقل از نوع توری موجب افزایش فاز ۴ در لایه ترکیبی می‌گردد (شکل (۸)). این موضوع در مورد توری‌های با درپوش مشبك موجب افزایش ضخامت و سختی سطح می‌شود.

۵۵ درجه سانتیگراد با افزایش مقدار نیتروژن در مخلوط گازی و افزایش میزان نفوذ آن در سطح قطعه، مقدار هر دو فاز ۴ و ۷ افزایش می‌یابد (شکل (۱۰)). ضخامت لایه ترکیبی در صورتی که فاز ۴ فاز غالب در آن باشد، تحت تاثیر دمای عملیات می‌باشد و افزایش دمای عملیات تا $550^{\circ}C$ درجه سانتیگراد موجب ضخیم شدن این لایه می‌گردد. در صورتی که در لایه ترکیبی فاز ۷ غالب باشد، ضخامت آن محدود است و افزایش دمای عملیات تاثیر چندانی بر ضخامت لایه ترکیبی ندارد. نوع لایه ترکیبی تشکیل شده در عملیات نیتروژن دهی پلاسمایی، تحت تاثیر ترکیب شیمیایی گاز عملیاتی می‌باشد. با افزایش درصد نیتروژن در گاز عملیاتی غلظت نیتروژن در لایه ترکیبی افزایش می‌یابد و در نتیجه فاز ۴ نیز جوانه زنی و رشد می‌کند و موجب افزایش ضخامت لایه ترکیبی می‌شود.

روند تغییرات سختی در طی فرایند نیتروژن دهی پلاسمایی به روش متداول و توری فعال به‌طور خاصی تحت تاثیر عناصر آلیاژی و شدت اندرکش بین عناصر آلیاژی و نیتروژن در فولاد قرار دارد [۲]. درصد کم عناصر آلیاژی در فولاد مورد تحقیق و اندرکش ضعیف بین عناصر آلیاژی و نیتروژن موجب شده تا سختی لایه نفوذی بطور یکنواخت و ملایم کاهش یابد و فصل مشترک در دماهای بالاتر، نیتریدهای هگزاگونال ۴ در لحاظ ساختاری در دماهای بالاتر، نیتریدهای هگزاگونال ۴ در مرز دانه‌ها تشکیل شد و چون می‌تواند نیتروژن بیشتری را در خود حل کند، ضخامت بیشتری نسبت به لایه‌های حاوی ۷ دارد. لایه متشکل از فاز ۴ که میزان نیتروژن بیشتری دارد در قسمت بالا و نزدیک به سطح قرار دارد و زیر این لایه، لایه ۷ قرار دارد [۱۱]. با توجه به اینکه فاز ۴ دارای ساختار hcp دارد، لغزش در آن به سختی صورت می‌گیرد و سیستم‌های لغزش آن محدود و به همین دلیل این لایه بسیار ترد است.

در واقع در شرایط برخورد یون‌های پر انرژی موجود در پلاسمایا با سطح توری پیرامون نمونه، سطح توری در ابتدا کندوپاش شده و در اثر برخورد یون‌های آهن با یون‌های نیتروژن در فضای اطراف سطح، رسوب مجدد از نیتریدهای آهن بر روی سطح توری ایجاد می‌گردد [۴] و [۷]. به نظر می‌رسد در شرایطی که درپوش از نوع توری انتخاب می‌گردد، قسمتی از نیتریدهای آهن از سوراخ‌های موجود عبور کرده و بر روی سطح نمونه راسب می‌گردد [۱۲]. در این شرایط به دلیل آنکه کندوپاش بر روی سطح نمونه که در داخل توری قرار گرفته، صورت نمی‌گیرد (نسبت به روش نیتروژن دهی متداول)، غلظت نیتریدهای آهن بر روی سطح افزایش یافته و نیتروژن موجود در این ترکیبات از طریق نفوذ وارد نمونه می‌گردد [۸]. این پدیده موجب آن می‌شود که ضخامت لایه‌ها

سطحی و همچنین ضخامت لایه سفید به طور یکنواختی با افزایش درجه حرارت افزایش یابد.

۴- مراجع

- M.Karakan, A.Alsaran, *Effects of various gas mixtures on plasma nitriding behavior of AISI 5140 steel*, Materials Characterization 49 (2003) 241–246.
- Bong-Yong Jeong, Myung-Ho Kim, *Effects of the process parameters on the layer formation behavior of plasma nitrided steels*, Surface and Coatings Technology, 141(2001) 182-186
- M. Berg, C.V.Budtz-Jørgensen, H. Reitz, K.O. Schweitz, J.Chevallier,P.Kringhøj, J.Bøttiger, *On plasma nitriding of steels*, Surface and Coatings Technology 124 (2000) 25–31.
- C.X. Li, T. Bell, H. Dong, *A study of active screen plasma nitriding*, Surf. Eng. 18 (3) (2002) 174–181.
- C.X. Li *, T. Bell, *Corrosion properties of active screen plasma nitrided 316 austenitic stainless steel*, Corrosion Science 46 (2004) 1527–1547
- C.X. Li, T. Bell , *Sliding wear properties of active screen plasma nitrided 316 austenitic stainless steel*, Wear 256 (2004) 1144–1152
- C.X. Li, J. Georges, X.Y. Li, *Active screen plasma nitriding of austenitic stainless steel*, Surf. Eng. 18 (6) (2002) 453–458.
- C.X. Li, T. Bell, *Principles, mechanisms and applications of active screen plasma nitriding*, Heat Treatment Met. (UK) 30 (1) (2003) 1–7.
- D. Cleugh, *Plasma species analysis for in situ assessment of surface treatments*, Surf. Eng. 18 (2) (2002) 133–139.
- P. Corengia,T. G. Ybarra, C. Moina, A. Cabo, E. Broitman, *Microstructural and topographical studies of DC-pulsed plasma nitrided AISI 4140 low-alloy steel*, Surface & Coatings Technology 200 (2005) 2391–2397.
- D.Pye, *Practical nitriding and ferritic nitrocarburizing*, ASM international, materials park, Ohio 44073-2002.
- Sh.Ahangarani, F.Mahboubi, A.R. sabour, *Effects of various nitriding parameters on active screen plasma nitriding behavior of a low-alloy steel*, Vacuum, (2006), in press.

[۱]

[۲]

[۳]

[۴]

[۵]

[۶]

[۷]

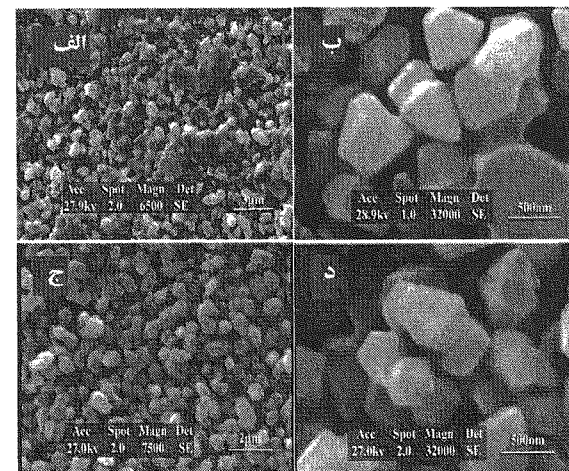
[۸]

[۹]

[۱۰]

[۱۱]

[۱۲]



شکل (۱۱) : تصاویر میکروسکوپ الکترونی از سطح نمونه های نیتروژن دهی شده از طریق توری فعال در ۵۵°C و در زمان ۵ ساعت برای توری های با قطر ۶ میلیمتر و با درپوشاهای مشبک (الف و ب) و ساده (ج و د).

۵- نتیجه

لایه ترکیبی ایجاد شده در هر دو فرایند CPN و ASPN در شرایط مختلف شامل فازهای γ -Fe₂N و ϵ -Fe₄N است. در فرایند CPN در هر دو دمای عملیات مورد تحقیق، افزایش مقدار گاز N₂ در مخلوط گازی موجب افزایش غلظت نیتریدهای ϵ در لایه ترکیبی شد. در حالیکه نیتریدهای γ در لایه ترکیبی رفتار مقاومتی را نشان داده و با افزایش مقدار گاز N₂ در مخلوط گازی و افزایش دمای عملیات (به لحاظ افزایش میزان نفوذ نیتروژن و غنی شدن سطح فوقانی این فاز از نیتریدهای ϵ) مقدار شدت پیک آن در لایه ترکیبی کاهش می‌یابد. در روش نیتروژن دهی پلاسمایی به روش توری فعال (ASPN)، افزایش دمای عملیات مستقل از پارامترهای مربوط به سیستم توری، موجب افزایش نیتریدهای ϵ در لایه ترکیبی و همچنین افزایش ضخامت و سختی این لایه می‌گردد. از طرفی به دلیل مکانیزم کندوپاش و رسوب مجدد نیتریدهای آهن، فاز ϵ در لایه ترکیبی برای یک سیستم توری با درپوش مشبک بیشتر از یک سیستم توری با درپوش ساده است. از طرفی حضور یک استوانه توری در پیرامون نمونه‌ها از کندوپاش مستقیم سطح نمونه جلوگیری می‌کند و موجب می‌شود غلظت لایه

۷- زیرنویس ها

¹ Conventional plasma nitriding -

² Edging effect

³ Hollow cathode effect

⁴ Active Screen Plasma Nitriding

⁵ Sputtering and redeposition